

# МОДЕЛИРОВАНИЕ *ab initio* ЭЛЕКТРОННОЙ СТРУКТУРЫ $\delta$ -Ta<sub>2</sub>O<sub>5</sub> С КИСЛОРОДНОЙ ВАКАНСИЕЙ И СРАВНЕНИЕ С ЭКСПЕРИМЕНТОМ

**M. V. Иванов<sup>a\*</sup>, T. B. Перевалов<sup>a</sup>, B. Ш. Алиев<sup>a</sup>, B. A. Гриценко<sup>a\*\*</sup>, B. B. Каичев<sup>b</sup>**

<sup>a</sup>Институт физики полупроводников  
 630090, Новосибирск, Россия

<sup>b</sup>Институт катализа  
 630090, Новосибирск, Россия

Поступила в редакцию 25 июня 2010 г.

Теоретически и экспериментально изучена электронная структура диэлектрика Ta<sub>2</sub>O<sub>5</sub> с вакансиями кислорода. Проведены расчеты *ab initio*  $\delta$ -Ta<sub>2</sub>O<sub>5</sub> в рамках теории функционала плотности в обобщенно-градиентном приближении GGA и приближении GGA+U. Экспериментально электронная структура аморфного Ta<sub>2</sub>O<sub>5</sub> исследована методом рентгеновской фотоэлектронной спектроскопии. Для изучения вакансий кислорода пленки аморфного Ta<sub>2</sub>O<sub>5</sub> облучались ионами аргона. Расчетные фотоэлектронные спектры валентной зоны  $\delta$ -Ta<sub>2</sub>O<sub>5</sub> находятся в удовлетворительном согласии с соответствующими экспериментальными спектрами аморфных пленок. Установлено, что вакансия кислорода в  $\delta$ -Ta<sub>2</sub>O<sub>5</sub> является ловушкой для дырок и электронов. Рассчитаны минимальные и максимальные значения эффективных масс электронов и дырок в  $\delta$ -Ta<sub>2</sub>O<sub>5</sub>.

## 1. ВВЕДЕНИЕ

Развитие нового поколения динамических оперативных запоминающих устройств (ОЗУ) требует использования диэлектриков с высокой диэлектрической проницаемостью (ДВДП) [1, 2]. Уменьшение площади запоминающего конденсатора сопровождается уменьшением толщины диэлектрического слоя. Однако при малых значениях толщины изолятора возрастает ток утечки запоминающего конденсатора, что приводит к растеканию заряда, накопленного на его обкладках. Ток утечки диэлектрика в запоминающем конденсаторе ОЗУ не должен превышать значения 10<sup>-7</sup> А/см<sup>2</sup> [3]. В качестве диэлектрика в таком конденсаторе долгое время использовался оксид кремния ( $\varepsilon = 3.9$ ). Использование ДВДП позволяет сохранить зарядовую емкость конденсатора при меньшей площади ячейки, что приводит к увеличению информационной емкости ОЗУ. Одним из перспективных кандидатов на роль диэлектрика в ОЗУ является оксид тантала Ta<sub>2</sub>O<sub>5</sub> [4–7]. Он имеет

диэлектрическую проницаемость  $\varepsilon \approx 25$ –37 в аморфном состоянии [6–9] и  $\varepsilon \approx 30$ –50 в поликристаллических состояниях [7, 10, 11].

Другим важным применением ДВДП является использование в электрически перепрограммируемых постоянных запоминающих устройствах (ЭППЗУ или флэш-памяти) [12–14]. В работах [15, 16] было предложено использовать Ta<sub>2</sub>O<sub>5</sub> в качестве запоминающей среды. Такие элементы памяти продемонстрировали лучшее соотношение между временем хранения заряда и временем перепрограммирования по сравнению с традиционными ЭППЗУ.

Ток утечки диэлектрика в конденсаторе должен быть малым. В отсутствие дефектов (ловушек) токи утечки лимитируются туннельной инжеекцией электронов и/или дырок на контакте по механизму Фаулера–Нордгейма. Туннельный ток экспоненциально зависит от величины барьера на контакте металл–диэлектрик и от величины эффективной массы носителей заряда. Несколько нам известно, в литературе отсутствуют данные по экспериментальным и теоретическим значениям эффективных масс для Ta<sub>2</sub>O<sub>5</sub>.

\*E-mail: maaaxim@isp.nsc.ru

\*\*E-mail: grits@isp.nsc.ru

В реальных диэлектриках всегда имеются дефекты, которые являются ловушками для электронов и дырок, ответственных за перенос заряда. Наиболее распространеными дефектами в большинстве ДВДП являются кислородные вакансии [14]. Таким образом, изучение электронной структуры ДВДП с кислородными вакансиями и определение значений энергии локализации электронов и дырок на этом дефекте являются актуальными задачами.

Существуют две стабильные кристаллические модификации оксида тантала:  $\beta$ - $Ta_2O_5$  и  $\delta$ - $Ta_2O_5$ . Экспериментальные результаты работы [17] показывают, что элементарная ячейка  $\beta$ - $Ta_2O_5$  состоит из 77 атомов, однако в работе [18] показано, что элементарная ячейка этой модификации состоит из 14 атомов;  $\delta$ -модификация  $Ta_2O_5$  состоит из 14 атомов, ее кристаллическая структура описана в работе [19]. Теоретические расчеты электронной структуры бездефектного  $\beta$ - и  $\delta$ - $Ta_2O_5$  проводились в работах [20, 21]. Вакансия кислорода в  $\beta$ -модификации изучалась в работах [22, 23]. Насколько нам известно, вакансия кислорода в  $\delta$ - $Ta_2O_5$  не изучалась.

Целью данной работы является теоретическое изучение *ab initio* электронной структуры  $\delta$ - $Ta_2O_5$  с кислородной вакансией и экспериментальное исследование аморфных пленок  $Ta_2O_5$ . Для получения вакансий кислорода пленки аморфного  $Ta_2O_5$  облучались ионами аргона  $Ar^+$ . Исследование атомной и электронной структуры  $Ta_2O_5$  проводилось методом рентгеновской фотоэлектронной спектроскопии (РФЭС). Полученные экспериментальные данные сравнивались с соответствующими расчетными спектрами. Теоретически определены значения зонных эффективных масс электронов и дырок в  $\delta$ - $Ta_2O_5$ .

## 2. МЕТОДИКА ЭКСПЕРИМЕНТА

Пленки  $Ta_2O_5$  толщиной 36 нм получались распылением танталовой мишени в кислороде, как это описано в работе [24]. В качестве подложки использовался кремний ориентации (100) с сопротивлением около 10 Ом·см. По данным электронной микроскопии пленки являются аморфными. Исследование атомной и электронной структуры  $Ta_2O_5$  проводилось методом рентгеновской фотоэлектронной спектроскопии на спектрометре фирмы SPECS. Спектрометр оснащен полусферическим анализатором PHOIBOS-150, рентгеновским монохроматором FOCUS-500 и источником рентгеновского характеристического излучения XR-50M с двой-

ным  $Al/Ag$ -анодом. Для возбуждения спектров использовалось характеристическое  $K_{\alpha}$ -излучение  $Al$  ( $h\nu = 1486.74$  эВ). Определение относительного содержания элементов  $x = [O]/[Ta]$  в зоне анализа (глубина анализа около 2 нм) осуществлялось по интегральным интенсивностям РФЭС-линий с учетом сечения фотоионизации соответствующих термов.

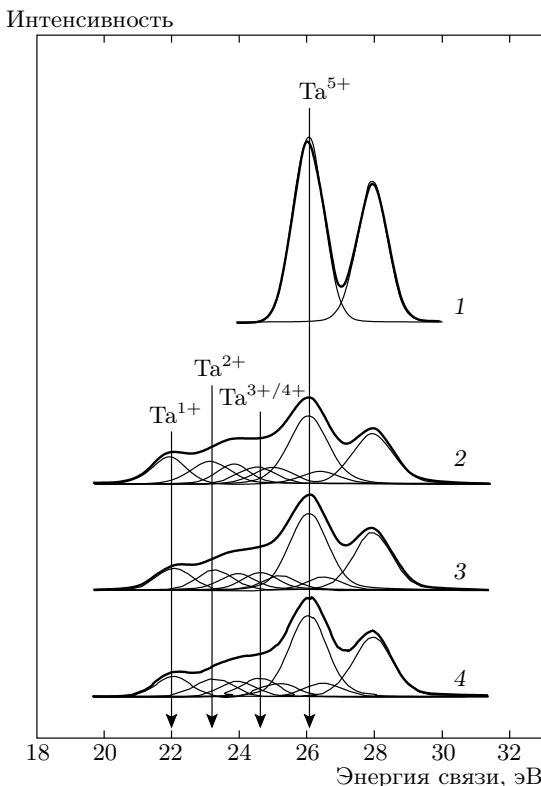
Для получения вакансий кислорода пленки  $Ta_2O_5$  облучались ионами аргона  $Ar^+$  с энергией 3 кэВ. Координационное число атома тантала больше координационного числа атома кислорода. Следовательно, энергия образования вакансии кислорода меньше энергии образования вакансии тантала. Поэтому при облучении ионами аргона поверхность  $Ta_2O_5$  обогащается танталом за счет образования вакансий кислорода.

## 3. МЕТОДИКА РАСЧЕТА

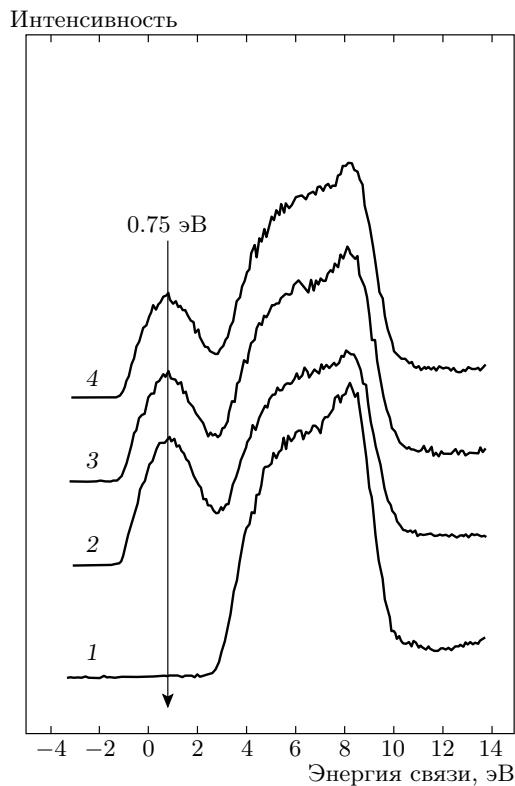
Расчеты электронной структуры кристалла  $\delta$ - $Ta_2O_5$  проводились в программном пакете Quantum — ESPRESSO [25] в рамках теории функционала плотности (ТФП) [26, 27] в приближении псевдопотенциалов. В расчете использовались электронные конфигурации для Та:  $[Xe]5d^36s^26p^0$  и О:  $[He]2s^22p^4$ . Расчеты проводились с использованием ультрамягких псевдопотенциалов и функционалов Пердью–Ванга (pw91) [25] в двух приближениях: обобщенно-градиентном приближении (GGA) и приближении GGA+U, учитывающем сильное кулоновское взаимодействие  $d$ -электронов атомов Та. Величина кулоновского параметра U была рассчитана методом линейного отклика, описанного в работе [28]. Полученное значение параметра U для атомов Та составляет 1.35 эВ. Расчеты проводились с использованием равномерной сетки  $k$ -точек  $3 \times 3 \times 3$  в зоне Бриллюэна при энергии отсечки равной 35 Ry.

## 4. СТРОЕНИЕ И ЭЛЕКТРОННАЯ СТРУКТУРА АМОРФНОГО $Ta_2O_5$ ПО ДАННЫМ ФОТОЭЛЕКТРОННОЙ СПЕКТРОСКОПИИ

В  $4f$ -спектрах Та исходной поверхности пленки наблюдается характерный дублет  $4f_{7/2}-4f_{5/2}$ , интегральные интенсивности линий которого соотносятся как 4:3 (рис. 1). Спин-орбитальное расщепление, разница значений энергии связи  $4f_{7/2}$  и  $4f_{5/2}$  Та составляет 1.89 эВ. Энергия связи  $4f_{7/2}$  составляет 26.05 эВ, что характерно для ионов  $Ta^{5+}$  в кисло-



**Рис.1.** 4f-спектры Та, полученные до (1) и после (2, 3, 4) ионного травления пленки  $\text{Ta}_2\text{O}_5/\text{Si}$  в течение соответственно 5, 15 и 35 мин



**Рис.2.** Спектры валентной зоны, полученные до (1) и после (2, 3, 4) ионного облучения пленки  $\text{Ta}_2\text{O}_5$  в течение соответственно 5, 15 и 35 мин. Спектры нормированы на интегральную интенсивность соответствующих 4f-спектров Та

родном окружении. Калибровка шкалы энергий связи производилась по 1s-линии углерода, входящего в состав поверхностных углеводородных примесей ( $E_b = 284.8$  эВ). Для ионов  $\text{Ta}^{5+}$  в структуре  $\text{Ta}_2\text{O}_5$  в работе [4] приводятся близкие значения энергии связи  $4f_{7/2}$  в пределах 26.2–26.3 эВ.

После облучения поверхности пленки ионами  $\text{Ar}^+$  в 4f-спектрах Та появляются дополнительные линии в области меньших энергий связи, что свидетельствует о частичном восстановлении тантала (образование вакансий кислорода) в результате воздействия ионов  $\text{Ar}^+$  высокой энергии. Разложение спектров на индивидуальные составляющие позволяет выделить в данном случае четыре состояния тантала, характеризующиеся значениями энергии связи  $4f_{7/2}$  в пределах  $22.0 \pm 0.1$  эВ,  $23.2 \pm 0.1$  эВ,  $24.6 \pm 0.1$  эВ и 26.05 эВ (рис. 1). Результаты разложения представлены в табл. 1. Эти состояния можно определить как  $\text{Ta}^{1+}$ ,  $\text{Ta}^{2+}$ ,  $\text{Ta}^{3+/4+}$  и  $\text{Ta}^{5+}$ . Таблица 1 показывает, что облучение  $\text{Ta}_2\text{O}_5$  ионами  $\text{Ar}^+$  сопровождается обогащением поверхности танталом за счет образования поливакансий кислород-

да. Ранее эффект частичного восстановления  $\text{Ta}_2\text{O}_5$  (обогащения металлом) в ходе облучения ионами  $\text{Ar}^+$  наблюдался в [4]. При этом после длительного облучения методом РФЭС фиксировалось образование субоксидов тантала, в то время как образование металлического тантала не наблюдалось. Для сравнения, для тантала в металлическом состоянии энергия связи  $4f_{7/2}$  составляет 21.3–21.7 эВ [29]. Ранее подобное обогащение металлом наблюдалось при облучении оксида циркония  $\text{ZrO}_2$  ионами  $\text{Ar}^+$  [30, 31]. На рис. 2 представлены спектры валентной зоны полученные до и после ионного травления пленки  $\text{Ta}_2\text{O}_5/\text{Si}$ . Как можно заметить, ионное травление приводит к появлению интенсивного пика вблизи энергии 2 эВ, выше потолка валентной зоны  $\text{Ta}_2\text{O}_5$ . В соответствии с [33], пики в этой области могут определяться фотоэмиссией электронов с 5d-уровня металлического тантала. Интенсивный пик  $4f_{7/2}$  в области энергии 22.0 эВ относится к дефектам типа кислородных вакансий в структуре  $\text{Ta}_2\text{O}_5$ . Таким

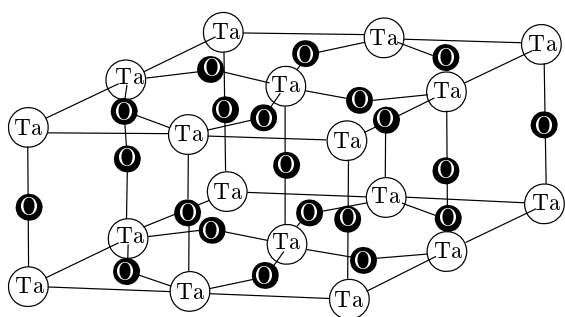
**Таблица 1.** Результаты разложения  $4f$ -спектров Та в  $\text{Ta}_2\text{O}_5$ , облученном ионами  $\text{Ar}^+$ . В скобках указана доля ионов Та в данном состоянии

Время облучения, мин	[O]/[Ta]	Ta <sup>1+</sup>	Ta <sup>2+</sup>	Ta <sup>3+/4+</sup>	Ta <sup>5+</sup>
0	2.30	—	—	—	26.05 (100 %)
5	1.35	21.93 (17.9 %)	23.13 (17.2 %)	24.51 (13.1 %)	26.05 (51.8 %)
15	1.55	22.06 (15.7 %)	23.29 (14.0 %)	24.62 (13.1 %)	26.05 (57.2 %)
35	1.53	22.05 (13.9 %)	23.27 (13.5 %)	24.60 (13.2 %)	26.05 (59.4 %)

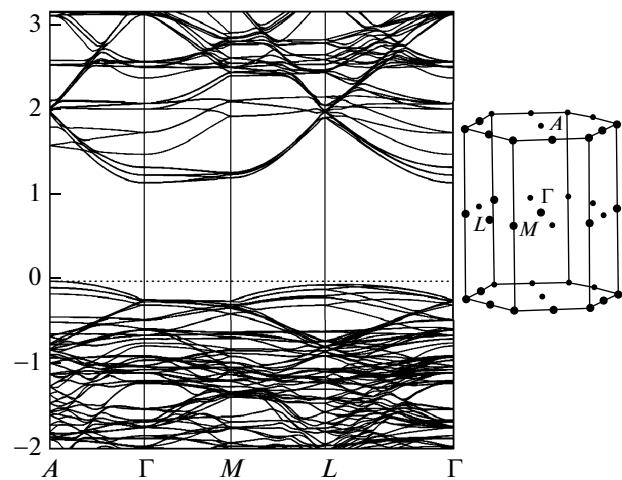
образом, облучение  $\text{Ta}_2\text{O}_5$  ионами аргона сопровождается образованием вакансий и поливакансий кислорода.

## 5. ЭЛЕКТРОННАЯ СТРУКТУРА БЕЗДЕФЕКТНОГО $\delta$ - $\text{Ta}_2\text{O}_5$

Элементарная ячейка  $\delta$ - $\text{Ta}_2\text{O}_5$  принадлежит гексагональной сингонии (пространственная группа  $P6/mmm$ ) и содержит 14 базисных атомов (рис. 3) [19]. Равновесные значения постоянных решетки, рассчитанные в настоящей работе, а также экспериментальные и взятые из литературы значения, представлены в табл. 2. Установлено, что использование метода GGA+U не приводит к изменению постоянных решетки. Один атом Та в элементарной ячейке координирован восьмью атомами O, оставшиеся три атома Та — шестью. Имеются четыре двукратно координированных



**Рис. 3.** Гексагональная 14-атомная ячейка  $\delta$ - $\text{Ta}_2\text{O}_5$



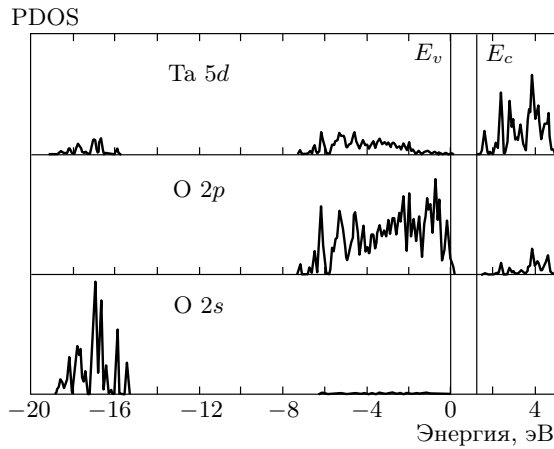
**Рис. 4.** Зонная диаграмма и зона Бриллюэна  $\delta$ - $\text{Ta}_2\text{O}_5$  с выделенными точками симметрии. Нулевая энергия соответствует верху валентной зоны

атома кислорода и шесть атомов кислорода, координированных трехкратно.

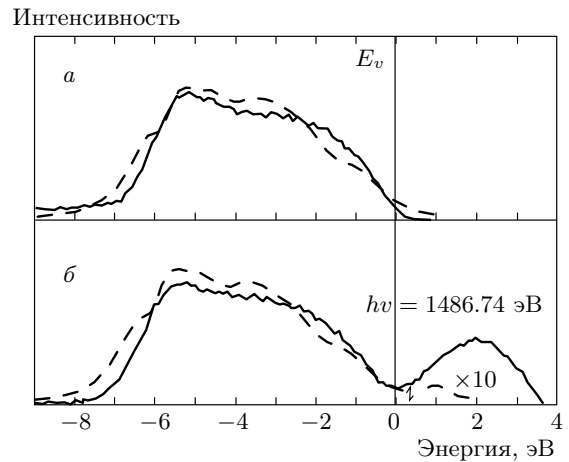
Рассчитанная вдоль высокосимметричных направлений в приближении GGA+U зонная диаграмма  $\delta$ - $\text{Ta}_2\text{O}_5$  представлена на рис. 4. Расчеты в приближении GGA качественно повторяют диаграмму, рассчитанную в приближении GGA+U. По результатам расчетов  $\delta$ - $\text{Ta}_2\text{O}_5$  является непрямозонным диэлектриком с потолком валентной зоны в точке  $A$  с координатами  $\frac{2\pi}{a}(0, 0, 0, 5)$  и дном зоны проводимости в центре зоны Бриллюэна. Аналогичный результат получен в работах [20, 21]. В табл. 2 приведены рассчитанные значения  $E_g$  и значения, взятые из литературы.

**Таблица 2.** Равновесные значения постоянных решетки элементарной ячейки и ширина запрещенной зоны  $\delta\text{-Ta}_2\text{O}_5$ , рассчитанные в данной работе и других работах, а также соответствующие экспериментальные значения

Расчеты данной работы		Расчеты других работ		Эксперимент	
Постоянные решетки, Å	$E_g$ , эВ	Постоянные решетки, Å	$E_g$ , эВ	Постоянные решетки, Å	$E_g$ , эВ
$a_{1,2} = 7.316$	1.20 (GGA)	$a_{1,2} = 7.120$ [20]	1.26 [183]	$a_{1,2} = 7.248$ [4]	4.2 [24, 32]
$a_3 = 3.875$	1.31 (GGA+U)	$a_3 = 3.798$	1.18 [20]	$a_3 = 3.880$	(аморфная фаза)
		$a_{1,2} = 7.338$ [21]	1.06 [21]		
		$a_3 = 3.880$			



**Рис. 5.** Парциальная плотность состояний  $\delta\text{-Ta}_2\text{O}_5$ . Нулевая энергия соответствует верху валентной зоны



**Рис. 6.** Экспериментальный (сплошная кривая) и рассчитанный (штриховая кривая) РФЭС валентной зоны  $\text{Ta}_2\text{O}_5$  необлученного (а) и облученного (б) аргоном

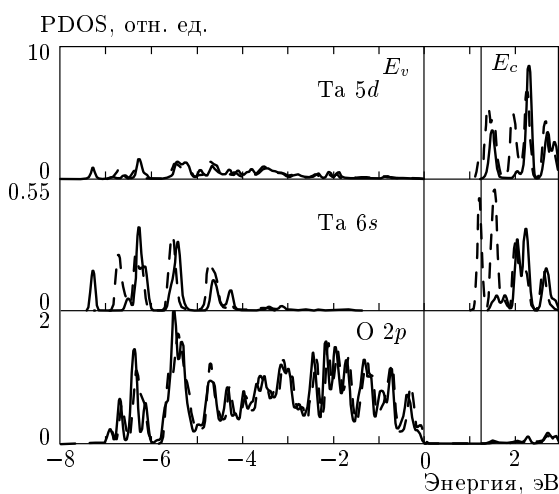
В табл. 3 приведены значения максимальных и минимальных эффективных масс электронов  $m_e^*$  и дырок  $m_h^*$  в  $\delta\text{-Ta}_2\text{O}_5$ , рассчитанных в приближениях GGA и GGA+U. Эффективные массы вычисляны путем квадратичной аппроксимации закона дисперсии  $E(\mathbf{k})$  вблизи потолка валентной зоны и дна зоны проводимости. Наблюдается сильная анизотропия эффективной массы электронов и дырок в кристалле.

Проведен расчет парциальных плотностей состояний (partial density of states, PDOS)  $\delta\text{-Ta}_2\text{O}_5$  в обоих приближениях. На рис. 5 приведена парциальная плотность состояний, рассчитанная в приближении GGA+U. Расчеты показывают, что верхняя валентная подзона формируется электронами 2p-состояниями О с примесью 5d-состояний Та. Нижняя подзона сформирована в основном 2s-состояниями О. Зона проводимости формирует-

ся в основном 5d-состояниями Та с 2p-состояниями примесью О. Вклад 6s- и 6p-состояний Та в формирование валентной зоны и зоны проводимости значительно меньше доли 5d-состояний Та и в работе не приводятся. На рис. 6а представлены экспериментальный и рассчитанный фотоэлектронные спектры валентной зоны  $\text{Ta}_2\text{O}_5$ . Расчетные спектры получены суммированием парциальных плотностей состояний валентных орбиталей с весовыми множителями, равными соответствующим сечениям фотоиниции, взятыми из работы [34]. Расчетные спектры уширены формулой Лоренца с полушириной  $\sigma = 0.4$ .

**Таблица 3.** Максимальные и минимальные эффективные массы электронов  $m_e^*$  и дырок  $m_h^*$  в  $\delta\text{-Ta}_2\text{O}_5$  с указанием соответствующих направлений в обратном пространстве, рассчитанные в приближениях GGA и GGA+U

Эффективные массы электронов, $m_e^*/m_0$		Эффективные массы дырок, $m_h^*/m_0$	
GGA	GGA+U	GGA	GGA+U
$0.3\Gamma \rightarrow A$	$0.3\Gamma \rightarrow A$	$0.7A \rightarrow \Gamma$	$1.3A \rightarrow \Gamma$
$2.2\Gamma \rightarrow M$	$2.9\Gamma \rightarrow M$	$2.6A \rightarrow L$	$1.6A \rightarrow L$

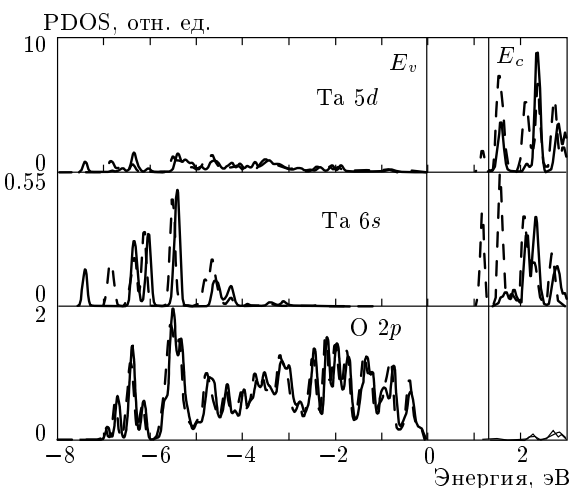


**Рис. 7.** Парциальная плотность состояний на атомах тантала и кислорода, ближайших к вакансии, рассчитанная в приближении GGA. Сплошная кривая — ячейка без дефекта, штриховая — с дефектом. Нулевая энергия соответствует верху валентной зоны

## 6. ЭЛЕКТРОННАЯ СТРУКТУРА $\delta\text{-Ta}_2\text{O}_5$ С КИСЛОРОДНОЙ ВАКАНСИЕЙ

Для моделирования вакансий кислорода использовалась суперячейка из 168 атомов, полученная трансляцией  $2 \times 2 \times 3$  примитивной ячейки. Кислородная вакансия создавалась удалением одного атома кислорода в центре ячейки.

На рис. 7 и 8 представлены парциальные плотности состояний на атомах тантала и кислорода, ближайших к дефекту. Наличие кислородной вакансии в ячейке  $\delta\text{-Ta}_2\text{O}_5$  приводит к появлению в его запрещенной зоне дефектного уровня. В случае моделирования в приближении GGA дефектный уровень практически совпадает с дном зоны



**Рис. 8.** То же, что и на рис. 7 в приближении GGA+U

проводимости (рис. 7), тогда как GGA+U дает дефектный уровень на 0.1 эВ отстоящий от дна зоны проводимости (рис. 8). Анализ расчетных парциальных плотностей состояний показывает, что дефектный уровень практически полностью формируется из 5d-состояний Та с примесью 6s-состояний Та. В 2p-спектрах О дефектные пики не наблюдаются.

На рис. 6б представлены экспериментальный РПЭС аморфной пленки  $\text{Ta}_2\text{O}_5$ , облученной аргоном, и расчетный спектр для  $\delta\text{-Ta}_2\text{O}_5$  с вакансией кислорода. При облучении ионами аргона в запрещенной зоне оксида тантала возникает пик выше потолка валентной зоны на 2 эВ. Расчет дает значение пика на расстоянии 1.2 эВ. Такое несоответствие в положениях пиков объясняется тем, что в облученных пленках помимо моновакансии кислорода могут присутствовать поливакансы. Поэтому соответствие экспериментального и расчетного спектров можно считать удовлетворительной в рамках предложенной модели.

Для выяснения способности вакансии кислорода в  $\delta\text{-Ta}_2\text{O}_5$  захватывать носители заряда вычислены энергии локализации электронов и дырок на дефекте. Выигрыш в энергии при захвате электрона  $\Delta\varepsilon^e$  и дырки  $\Delta\varepsilon^h$  на дефекте определяется по формулам

$$\Delta\varepsilon^e = [E_{\text{perfect}}^{q=-1} - E_{\text{perfect}}^{q=0}] - [E_{\text{defect}}^{q=-1} - E_{\text{defect}}^{q=0}],$$

$$\Delta\varepsilon^h = [E_{\text{perfect}}^{q=+1} - E_{\text{perfect}}^{q=0}] - [E_{\text{defect}}^{q=+1} - E_{\text{defect}}^{q=0}].$$

В приведенных формулах  $E_{\text{perfect}}^{q=0}$ ,  $E_{\text{perfect}}^{q=-1}$  и  $E_{\text{perfect}}^{q=+1}$  — полные энергии соответственно нейтральной, отрицательно и положительно заряженных без-

**Таблица 4.** Энергии локализации электронов и дырок на кислородной вакансии в  $\delta\text{-Ta}_2\text{O}_5$ , рассчитанные в приближениях GGA и GGA+U

Тип расчета	$\varepsilon^e$ , эВ	$\varepsilon^h$ , эВ
GGA	0.23	1.36
GGA+U	0.3	1.75

дефектных суперячеек,  $E_{\text{defect}}^{q=0}$ ,  $E_{\text{defect}}^{q=-1}$  и  $E_{\text{defect}}^{q=+1}$  — полные энергии соответственно нейтральной, отрицательно и положительно заряженных суперячеек с дефектом.

Энергии локализации носителей приведены в табл. 4. Результаты расчетов показывают, что вакансия кислорода является центром локализации (ловушкой) для электронов и для дырок. Этот результат находится в противоречии с экспериментами по транспорту заряда в структурах Si— $\text{Ta}_2\text{O}_5$ —Al [24]. В этих экспериментах было установлено, что в аморфном  $\text{Ta}_2\text{O}_5$  перенос заряда осуществляется электронами, дырки не дают вклада в проводимость  $\text{Ta}_2\text{O}_5$ . Это противоречие объясняется тем, что барьер для электронов на границе Si— $\text{Ta}_2\text{O}_5$  составляет величину 0.8 эВ, а барьер для дырок величину 2.3 эВ [35]. Из-за большого значения величины дырочного барьера вероятность инжеクции дырок из кремния в  $\text{Ta}_2\text{O}_5$  мала по сравнению с вероятностью инжеクции электронов. Поэтому в проводимости  $\text{Ta}_2\text{O}_5$  доминируют электроны. Это обстоятельство не исключает наличия дырочных ловушек в  $\text{Ta}_2\text{O}_5$ .

## 7. ЗАКЛЮЧЕНИЕ

Рассчитана электронная структура  $\delta\text{-Ta}_2\text{O}_5$ , являющегося непрямозонным диэлектриком. Ширина запрещенной зоны в приближении GGA составляет 1.20 эВ и в приближении GGA+U — 1.31 эВ. Рассчитаны минимальные и максимальные эффективные массы электронов и дырок в кристалле  $\delta\text{-Ta}_2\text{O}_5$ . Наблюдается сильная анизотропия эффективной массы электронов и дырок в кристалле.

Изучены зарядовые состояния кислородной вакансии в кристалле  $\delta\text{-Ta}_2\text{O}_5$ . Установлено, что учет кулоновского взаимодействия дает более глубокий дефектный уровень, связанный с вакансии кислорода. Обнаружено, что вакансия кислорода является центром локализации для дырок и электронов. Расчетные спектры показывают удовлетворительное качественное соответствие с экспериментальными

фотоэлектронными спектрами облученных  $\text{Ar}^+$  пленок  $\text{Ta}_2\text{O}_5$ .

Работа выполнена при финансовой поддержке РФФИ (грант № 10-07-00531а) и в рамках интеграционного проекта № 70 СО РАН.

## ЛИТЕРАТУРА

1. A. I. Kingon, J.-P. Maria, and S. K. Streiffer, *Nature* **406**, 1032 (2000).
2. R. M. Wallace and G. D. Wilk, *Critic. Rev. Sol. St. Mater. Sci.* **28**, 231 (2003).
3. J. Robertson, *Eur. Phys. J. Appl. Phys.* **28**, 265 (2004).
4. N. Terao, *Jpn. J. Appl. Phys.* **6**, 21 (1967).
5. N. Novkovski and E. Atanassova, *Appl. Phys. Lett.* **86**, 152104 (2005).
6. E. Atanassova and D. Spassov, *Appl. Surf. Sci.* **135**, 71 (1998).
7. P. C. Joshi and M. W. Cole, *J. Appl. Phys.* **86**, 871 (1999).
8. L. I. Maissel, R. Glang eds., *Handbook of Thin Films* **16**, 17 (1970).
9. J.-Y. Kim, M. C. Nielsen, E. J. Rymaszewski et al., *J. Appl. Phys.* **87**, 1448 (2000).
10. G. S. Oehrlein, F. M. d'Heurle, and A. Reisman, *J. Appl. Phys.* **55**, 3715 (1984).
11. M. Hiratani, S. Kimura, T. Hamada et al., *Appl. Phys. Lett.* **81**, 2433 (2002).
12. В. А. Гриценко, К. А. Насыров, Д. В. Гриценко и др., *ФТП* **39**, 748 (2005).
13. Y. Roizin and V. A. Gritsenko, *Dielectric Films for Advanced Microelectronics*, ed. by M. R. Baklanov, M. Green, K. Maex, Wiley & Sons, Chippenham, UK (2007).
14. Т. В. Перевалов, В. А. Гриценко, *УФН* **180**, 587 (2010).
15. X. Wang, J. Liu, W. Bai et al., *IEEE Trans. Electron Devices* **51**, 597 (2004).
16. X. Wang and D.-L. Kwong, *IEEE Trans. Electron Devices* **53**, 78 (2005).
17. N. C. Stephenson and R. S. Roth, *Acta Crystallogr. B* **27**, 1037 (1971).

18. L. A. Aleshina and S. V. Loginova, *Crystallogr. Rep.* **47**, 415 (2002).
19. A. Fukumoto and K. Miwa, *Phys. Rev. B* **55**, 11155 (1997).
20. B. R. Sahu and L. Kleinman, *Phys. Rev. B* **69**, 165202 (2004).
21. T. Gu, Z. Wang, T. Tada et al., *J. Appl. Phys.* **106**, 103713 (2009).
22. H. Sawada and K. Kawakami, *J. Appl. Phys.* **86**, 956 (1999).
23. R. Ramprasad, *J. Appl. Phys.* **94**, 5609 (2003).
24. V. A. Shvets, V. Sh. Aliev, D. V. Gritsenko et al., *J. Non-Cryst. Sol.* **354**, 3025 (2008).
25. P. Giannozzi et al., *J. Phys.: Condens. Matter* **21**, 395502 (2009).
26. P. Hohenberg and W. Kohn, *Phys. Rev.* **136**, B864 (1964).
27. W. Kohn and L. Sham, *Phys. Rev.* **140**, A1133 (1965).
28. M. Cococcioni and S. de Gironcoli, *Phys. Rev. B* **71**, 035105 (2005).
29. C. Guillot, P. Roubin, J. Lecante et al., *Phys. Rev. B* **30**, 5487 (1984).
30. C. Morant and J. M. Sanz, *Phys. Rev. B* **45**, 1391 (1992).
31. C. Morant, A. Fernandez, A. R. Gonzalez-Elipe et al., *Phys. Rev. B* **52**, 11711 (1995).
32. J. Y. Zhang, Q. Fang, and Q. I. W. Boyd, *Appl. Surf. Sci.* **138–139**, 320 (1999).
33. F. J. Himpsel, J. F. Morar, F. R. McFeely et al., *Phys. Rev. B* **30**, 7236 (1984).
34. J.-J. Yeh, *Atomic Calculation of Photoionization Cross-Section and Asymmetry Parameters*, Gordon and Breach Science Publisher, Amsterdam (1993).
35. B. C.-M. Lai, J.-C. Yu, and J. Y.-M. Lee, *IEEE Electron Device Lett.* **22**, 221 (2001).